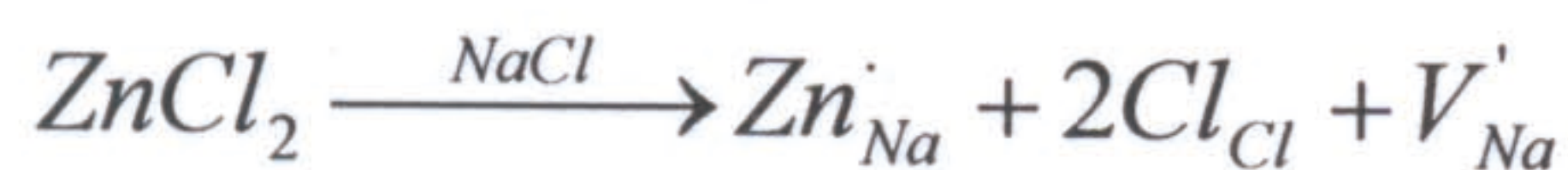


六、(15分)

当 NaCl 中溶有少量 ZnCl_2 时, Na^+ 的扩散一方面受本征缺陷浓度的影响, 另一方面受引入 Zn^{2+} 而形成的 $[\text{V}_{\text{Na}}]$ 的影响。当温度较低时, 由引入 Zn^{2+} 而形成的杂质缺陷 $[\text{V}_{\text{Na}}]$ 对 Na^+ 的扩散影响是主要的; 当温度较高时, Na^+ 的本征扩散将占优势。

在整个温度范围内, Cl^- 的扩散均以本征扩散为主。因为 Zn^{2+} 的引入并不改变 Cl^- 的点阵分布情况。



$$\frac{n}{N} = \exp\left(-\frac{E}{2KT}\right)$$

$$10^{-6} = \exp\left(-\frac{2.3 \times 1.6 \times 10^{-19}}{2 \times 1.38 \times 10^{-23} T_C}\right)$$

$$T_C = 966\text{K}$$

当温度高于 966K, Na^+ 的本征扩散占优。

七、(10分)

$$1, T_m = 1083^\circ\text{C} = 1356\text{K} \quad \Delta T = 1356 - (853 + 273) = 230\text{K}$$

$$r^* = -\frac{2 \cdot \gamma \cdot T_m}{\Delta H \cdot \Delta T} = \frac{2 \times 1.77 \times 10^{-5} \times 1356}{1628 \times 230} = 1.28 \times 10^{-7} \text{cm}$$

$$n = \frac{\frac{4}{3}\pi \cdot r^{*3}}{a^3} \times 4 = \frac{\frac{4}{3}\pi \times (1.28 \times 10^{-7})^3}{(0.3615 \times 10^{-7})^3} \times 4 = 744 \text{ (个)}$$

$$2, R^* = r^* = 1.28 \times 10^{-7} \text{cm}$$

$$h = 0.2R^* = 0.2 \times 1.28 \times 10^{-7} = 0.256 \times 10^{-7} \text{cm}$$

$$V = \frac{\pi h^2}{3} (3R^* - h) = \frac{\pi \times (0.256 \times 10^{-7})^2}{3} \times (3 \times 1.28 \times 10^{-7} - 0.256 \times 10^{-7}) = 0.24 \times 10^{-21} \text{cm}^3$$

$$n = \frac{V}{a^3} \times 4 = \frac{0.24 \times 10^{-21}}{(0.3615 \times 10^{-7})^3} \times 4 = 20 \text{ (个)}$$

八、(10分)

当添加物能与烧结物形成固溶体时, 将使晶格畸变而得到活化, 故可降低烧结温度, 使扩散和烧结速度增大。

当加入 TiO_2 时, 烧结温度可以更低, 是因为 Ti^{4+} 与 Al^{3+} 电价不同, 置换后将伴随有正离子空位产生, 而且在高温下 Ti^{4+} 可能转变成半径较大的 Ti^{3+} , 缺陷浓度增加, 加剧晶格畸变, 使活性更高, 更有效地促进烧结。